

สมบัติเพื่อประโยชน์ศึกษาของเชรานมิกชนิด  
เดดแคดเชียนไฟกานเดอะเดดเดนกานน้ำไฟกานเด

นางสาว รัชนีกร รวมทวี



สถาบันวิทยบริการ

วิทยานิพนธ์นี้เป็นส่วนหนึ่งของการศึกษาตามหลักสูตรปริญญาวิทยาศาสตรมหาบัณฑิต  
สาขาวิชาเทคโนโลยีเชรานมิก ภาควิชาวัสดุศาสตร์

บัณฑิตวิทยาลัย จุฬาลงกรณ์มหาวิทยาลัย

ปีการศึกษา 2541

ISBN 974-332-263-9

ลิขสิทธิ์ของบัณฑิตวิทยาลัย จุฬาลงกรณ์มหาวิทยาลัย

**FERROELECTRIC PROPERTIES OF (Pb,Ca)TiO<sub>3</sub> and (Pb,La)TiO<sub>3</sub>  
CERAMICS**

**Miss Rutchaneekorn Ruamthawee**

**A Thesis Submitted in Partial Fulfillment of the Requirements  
for the Degree of Master of Science in Ceramic Technology**

**Department of Materials Science**

**Graduate School**

**Chulalongkorn University**

**Academic Year 1998**

**ISBN 974-332-263-9**

**Thesis Title** Ferroelectric properties of (Pb,Ca)TiO<sub>3</sub> and  
(Pb,La)TiO<sub>3</sub> ceramics

**By** Rutchaneekorn Ruamthawee

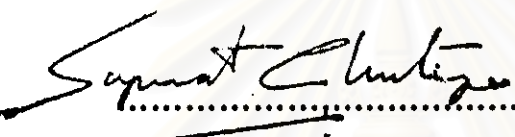
**Department** Materials Science

**Thesis Advisor** Assistant Professor Sutin Kuharuangrong, Ph.D.

**Thesis Co-advisor** Sutiporn Chewasatn, Ph.D.

.....

Accepted by the Graduate School, Chulalongkorn University  
in Partial Fulfillment of the Requirements for the Master's Degree.

  
.....Dean of Graduate School  
(Professor Supawat Chutivongse, M.D.)

**Thesis committee**

  
.....Chairman

(Associate Professor Paiparn Santisuk, M.Met.)

  
.....Thesis Advisor

(Assistant Professor Sutin Kuharuangrong, Ph.D.)

  
.....Thesis Co-advisor

(Sutiporn Chewasatn, Ph.D.)

  
.....Member

(Chutima Eamchotchawalit, Ph.D.)

พิมพ์ด้วยวิธีการก่อสักวิทยานิพนธ์ภาษาไทยในกรอบสีเขียวที่มีพื้นเปลี่ยนเดือย

รัชนิกร รวมทวี : สมบัติเพื่อ ໄวอิเล็กทริกของเซรามิกชนิดเกล็ดเซี่ยม ไทกาเนตและเกล็ดแคนทานัม ไทกาเนต (FERROELECTRIC PROPERTIES OF (Pb,Ca)TiO<sub>3</sub>, and (Pb,La)TiO<sub>3</sub>, CERAMICS) อ.ที่ปรึกษา : พศ. ดร. ฤทธิ์ ภูษาเรืองรอง, อ.ที่ปรึกษาร่วม : ดร.สุทธิพง ชีวสารน์ ; 109 หน้า ISBN 974-332-263-9

ปัจจุบันได้มีการพัฒนาเครื่องมืออุปกรณ์ด้านอิเล็กทรอนิกส์ที่ใช้สมบัติทางด้านไฟฟ้าอิเล็กทริก ไฟฟ้าอิเล็กทริก และไฟฟ้าอิเล็กทริกของสารเซรามิกชนิดเกล็ดไทกาเนตกันอย่างแพร่หลาย สำหรับงานวิจัยนี้ได้ทำการศึกษาผลของ แคลดเซี่ยมและแคนทานัม ไออ่อนที่มีต่อสมบัติทางไฟฟ้าอิเล็กทริก โดยอิเล็กทริกและโครงสร้างอุกภาคของสารเกล็ดไทกาเนตที่ เครื่องจากออกไซด์และคาร์บอนเคลือบด้วยตะกุดหัวใจ แคนทานัม ไทกาเนย์ และเกล็ดเซี่ยม หลังจากนั้นทำการทดสอบไชด์และ เพาท์อุณหภูมิ 1200 องศาเซลเซียส

ผลการตรวจสอบพบว่าสารเกล็ดไทกาเนตที่มีปริมาณตัวเติมแคนทานัม ไออ่อนสูงถึง 20% และเกล็ดไทกาเนตที่มี ปริมาณตัวเติมแคลดเซี่ยมสูงถึง 30% แสดงสารไฟฟ้าดีขึ้นแบบเครตตระโภนอต และการตรวจสอบโครงสร้างอุกภาคพบว่า เมื่อปริมาณแคนทานัม ไออ่อนเพิ่มขึ้น จะทำให้ขนาดของเกรนเพิ่มขึ้นจาก 0.5 ไมครอนไปเป็น 5 ไมครอน โดยไม่มีการแตก เกิดขึ้นภายในโครงสร้าง ส่วนปริมาณแคลดเซี่ยม ไออ่อนเพิ่มขึ้น มีผลทำให้ขนาดของเกรนลดลงจากประมาณ 100 ไมครอน ถึงประมาณ 20-2 ไมครอน และมีร้อยละเกิดขึ้นในทุกส่วนของ ยกเว้นตัวอย่างที่ปริมาณแคลดเซี่ยม 30%

ผลจากการตรวจสอบ XRD พบว่าการเพิ่มปริมาณความเข้มข้นของแคนทานัม ไออ่อนและเกล็ดเซี่ยม ไออ่อน มี ผลทำให้ความเป็นเครตตระโภนอต (c/a) ของสารเกล็ดไทกาเนตลดลงรวมถึงไฟฟ้าอิเล็กทริก ค่าคงที่ไฟฟ้าอิเล็กทริก และค่าสูญเสียทางไฟฟ้าอิเล็กทริก สารเกล็ดไทกาเนตที่มีปริมาณแคนทานัม ไออ่อน 20% และความสามารถด้านทานของไฟฟ้าต่ำกว่าส่วน ของ 5% แต่สารเกล็ดไทกาเนตที่มีตัวเติมแคนทานัม ไออ่อน 15% มีค่าอุณหภูมิครึ่งที่ 280 และที่มีตัวเติมแคลดเซี่ยม ไออ่อน 15% มีค่าอุณหภูมิครึ่งที่ 255 องศาเซลเซียสตามด้านบน

## สถาบันวิทยบริการ จุฬาลงกรณ์มหาวิทยาลัย

ภาควิชา ..... วัสดุศาสตร์ .....  
สาขาวิชา ..... เทคโนโลยีเคมี .....  
ปีการศึกษา ..... 2541 .....

ลายมือชื่อนักศึกษา ..... รัชนิกร รวมทวี .....  
ลายมือชื่ออาจารย์ที่ปรึกษา ..... อุษ ฤทธิ์ ภูษาเรืองรอง .....  
ลายมือชื่ออาจารย์ที่ปรึกษาร่วม ..... ดร.สุทธิพง ชีวสารน์ .....

# # 4072360923 : MAJOR CERAMIC TECHNOLOGY

KEY WORD: LEAD TITANATE / CALCIUM / LANTANUM / POLARIZATION - ELECTRIC FIELD RESPONSE

RUTCHANEBKORN RUAMTHAWEE : FERROELECTRIC PROPERTIES OF  $(\text{Pb}, \text{Ca})\text{TiO}_3$  and  $(\text{Pb}, \text{La})\text{TiO}_3$  CERAMICS.

THESIS ADVISOR : ASSIST. PROF. SUTIN KUHARUANGRONG, Ph.D. THESIS CO-ADVISOR : SUTIPORN

CHEWASATN, Ph.D. 109 pp. ISBN 974-332-263-9

There is currently widespread interest in developing a range in electronic devices exploiting the ferroelectric, pyroelectric and piezoelectric properties of modified  $\text{PbTiO}_3$  ceramics. In this research the effects of  $\text{La}^{3+}$  and  $\text{Ca}^{2+}$  on microstructure, ferroelectric and dielectric properties of  $\text{PbTiO}_3$  bulk ceramics were investigated.  $\text{La}^{3+}$  and  $\text{Ca}^{2+}$  modified  $\text{PbTiO}_3$  were prepared from mixing of lead oxide, titanium oxide, lanthanum oxide, calcium carbonate and then calcining and sintering at  $1200^\circ\text{C}$ .

The results indicated that various compositions in the system of  $\text{Pb}_{1-x}\text{La}_x\text{Ti}_{1-x/4}\text{O}_3$  up to  $x = 0.2$  and  $\text{Pb}_{1-x}\text{Ca}_x\text{TiO}_3$  up to  $x = 0.3$  exhibited to induce crystallization to the tetragonal perovskite phase. Microscopy revealed increasing grain size from 0.5 to 5  $\mu\text{m}$  without cracks when  $\text{La}^{3+}$  concentration for  $\text{Pb}_{1-x}\text{La}_x\text{Ti}_{1-x/4}\text{O}_3$  was increased. But  $\text{Pb}_{1-x}\text{Ca}_x\text{TiO}_3$  ceramics with increasing  $\text{Ca}^{2+}$  contents showed decreasing in grain sizes ranging from  $\sim 100$  to  $\sim 20-2 \mu\text{m}$ . Cracks were observed in all samples, except  $\text{Pb}_{0.7}\text{Ca}_{0.3}\text{TiO}_3$  composition.

XRD analysis of all samples indicated that  $\text{La}^{3+}$  and  $\text{Ca}^{2+}$  substitution for  $\text{Pb}^{2+}$  resulted in decreasing in the tetragonal distortion of the  $\text{PbTiO}_3$  unit cell. The polarization-electric field response, the dielectric constant and dielectric loss of all compositions were measured. The ceramics showed a variation in electrical properties dependent on the amount of  $\text{La}^{3+}$  and  $\text{Ca}^{2+}$  substitution. But  $\text{Pb}_{1-x}\text{La}_x\text{Ti}_{1-x/4}\text{O}_3$  with  $x = 0.2$  exhibited higher conductive characteristic. The Curie points of  $\text{Pb}_{0.85}\text{La}_{0.15}\text{Ti}_{0.9625}\text{O}_3$  and  $\text{Pb}_{0.85}\text{Ca}_{0.15}\text{TiO}_3$  ceramics were  $\sim 280^\circ\text{C}$  and  $\sim 255^\circ\text{C}$ , respectively.

# สถาบันวิทยบริการ จุฬาลงกรณ์มหาวิทยาลัย

ภาควิชา วัสดุศาสตร์

ลายมือชื่อนิสิต รังษี วงศ์

สาขาวิชา เทคโนโลยีเซรามิก

ลายมือชื่ออาจารย์ที่ปรึกษา ดร. อรุณรัตน์ คงมาศ

ปีการศึกษา 2541

ลายมือชื่ออาจารย์ที่ปรึกษาร่วม ดร. สมชาย ใจดี

## Acknowledgements



I would like to express my deep gratitude to my advisor, Dr. Sutin Kuharuangrong and my co-advisor , Dr. Sutiporn Chewasatn, for their constant guidance, advice and encouragement throughout this task.

I am grateful to Dr. Chutima Eamchotchawalit for her encouragement.

My thanks are also extended to the staff of the Thailand Institute of Scientific and Technological Research (TISTR), especially to Miss Nittaya Keawprak , Miss Saengdoen Doungdaw , Mr. Noppharat Sae-ung and Mr. Prasong Cheompornpitak for their kind assistance. I also wish to thank Mr. Chumphol Busabook, Mr. Chalermchai Jeerapan and Mr. Chanin Surainark for their helpful advice and assistance in testing.

Appreciation is extended to my friends at the department of electrical engineering at Chulalongkorn University for their kind assistance with my computer problems.

I gratefully acknowledge the thesis support from the Thailand Institute of Scientific and Technological Research (TISTR) for this thesis. I also wish to acknowledge the National Science and Technology Development Agency (NSTDA) for financial support during my graduate study at Chulalongkorn University.

Finally I am very much indebted to my family for their love, encouragement and worthy moral support through my study.

## Contents

	Page
<b>Abstract(Thai).....</b>	iv
<b>Abstract (English).....</b>	v
<b>Acknowledgements.....</b>	vi
<b>List of Tables.....</b>	viii
<b>List of Figures.....</b>	x
<b>CHAPTER 1      INTRODUCTION.....</b>	1
<b>CHAPTER 2      BACKGROUND SCIENCES.....</b>	4
2.1 Ferroelectricity.....	4
2.2 Structure and properties of lead titanat( $PbTiO_3$ ).....	9
2.2.1 Unmodified lead titanate ( $PbTiO_3$ ).....	9
2.2.2 $Ca^{2+}$ - Modified lead titanate.....	14
2.2.3 $La^{3+}$ -Modified lead titanate.....	20
2.3 Fabrication of $(Pb_{1-x}Ca_x)TiO_3$ and $(Pb_{1-x}La_x)Ti_{1-x/4}O_3$ ceramics.....	22
2.4 Applications of $PbTiO_3$ based material.....	24
<b>CHAPTER 3      EXPERIMENTAL PROCEDURE.....</b>	30
3.1 Preparation of modified $PbTiO_3$ ceramics.....	30
3.1.1 Preparation of modified $(Pb_{1-x}La_x)Ti_{1-x/4}O_3$ ceramics.....	30
3.1.2 Preparation of modified $(Pb_{1-x}Ca_x)TiO_3$ ceramics.....	31
3.2 Reaction analysis for determination of the calcining temperature.....	36

3.2.1 Determination of the calcining temperature of $(Pb_{1-x}La_x)Ti_{1-x/4}O_3$ powder.....	36
3.2.2 Determination of the calcining temperature of $(Pb_{1-x}Ca_x)TiO_3$ powder.....	36
3.3 Characterization of $(Pb_{1-x}La_x)Ti_{1-x/4}O_3$ and $(Pb_{1-x}Ca_x)TiO_3$ ceramics.....	37
3.3.1 Physical characterization.....	37
3.3.1.1 Weight loss and shrinkage after calcination and sintering.....	37
3.3.1.2 Microstructure.....	38
3.3.1.3 X-ray Diffraction Analysis.....	38
3.3.2 Electrical characterization.....	39
3.3.2.1 Dielectric constant (K') and dielectric loss (D) at room temperature.....	39
3.3.2.2 Dielectric constant and dielectric loss versus temperature.....	40
3.3.2.3 The polarization- electric field (P-E) response.....	42
<b>CHAPTER 4 RESULTS AND DISSCUSSION.....</b>	<b>44</b>
4.1 Determination of the calcining temperature.....	44
4.2 Weight loss and shrinkage.....	48
4.3 Microstructure analysis.....	52
4.4 X-ray diffraction analysis.....	62
4.5 Dielectric constant and dielectric loss at room temperature.....	75
4.6 Dielectric constant and dielectric loss versus temperture.....	82

	Page
4.7 The polarization - electric field (P-E) response.....	87
4.8 General discussion.....	98
<b>CHAPTER 5     SUMMARY AND CONCLUSION.....</b>	<b>100</b>
<b>CHAPTER 6     SUGGESTIONS FOR FUTURE WORK.....</b>	<b>103</b>
<b>References.....</b>	<b>104</b>
<b>Biography.....</b>	<b>109</b>

สถาบันวิทยบริการ  
จุฬาลงกรณ์มหาวิทยาลัย

## LIST OF TABLES

	Page
Table 1 Types of application exploiting properties of $\text{PbTiO}_3$ , based material.....	27
Table 2 Characteristics of pyroelectric materials <sup>(61)</sup> .....	28
Table 3 Summary of pyroelectric properties of $\text{PbTiO}_3$ , based materials and some selected materials.....	29
Table 4 Raw materials used in preparing the samples.....	34
Table 5 The stoichiometric ratio of $\text{Pb}_{1-x}\text{La}_x\text{Ti}_{1-x/4}\text{O}_3$ ceramics.....	34
Table 6 The stoichiometric ratio of $\text{Pb}_{1-x}\text{Ca}_x\text{TiO}_3$ ceramics.....	35
Table 7 %Weight loss of $\text{Pb}_{1-x}\text{La}_x\text{Ti}_{1-x/4}\text{O}_3$ compositions calcined at $750^\circ\text{C}$ for 2 hrs.....	50
Table 8 %Weight loss of $\text{Pb}_{1-x}\text{Ca}_x\text{TiO}_3$ compositions calcined at $800^\circ\text{C}$ for 2 hrs.....	50
Table 9 %Weight loss and % shrinkage of $\text{Pb}_{1-x}\text{La}_x\text{Ti}_{1-x/4}\text{O}_3$ compositions sintered at $1200^\circ\text{C}$ for 2 hrs.....	51
Table 10 %Weight loss and % shrinkage of $\text{Pb}_{1-x}\text{Ca}_x\text{TiO}_3$ compositions sintered at $1200^\circ\text{C}$ for 2 hrs.....	51
Table 11 The c/a ratio of PLT calcined powder and sintered ceramics.....	69
Table 12 The c/a ratio of PCT calcined powder and sintered ceramics.....	69

	Page
Table 13      The maximum dielectric constant (K') and Curie temperature of PL15T as a function of frequency.....	84
Table 14      The maximum dielectric constant (K') and Curie temperature of PC15T as a function of frequency.....	84
Table 15      A summary of the average remanent polarization (P <sub>r</sub> ) , Coercive field (E <sub>c</sub> ) measuring at 35 kV/cm. , dielectric constant (K') , dielectric loss (D) measuring at 1 kHz , and Curie temperature (T <sub>c</sub> ) of Pb <sub>1-x</sub> La <sub>x</sub> Ti <sub>1-x/4</sub> O <sub>3</sub> specimens sintered at 1200°C for 2 hrs.....	96
Table 16      A summary of the average remanent polarization (P <sub>r</sub> ) , Coercive field (E <sub>c</sub> ) measured at 35 kV/cm. , dielectric constant (K') , dielectric loss (D) measured at 1 kHz , and Curie temperature (T <sub>c</sub> ) ( S.D. = standard deviation ) of Pb <sub>1-x</sub> Ca <sub>x</sub> TiO <sub>3</sub> specimens sintered at 1200°C for 2 hrs.....	97



## LIST OF FIGURES

	Page
Fig.1 A classification scheme of the 32 crystallographic point groups in relation to ferroelectric properties <sup>(4,5)</sup> .....	6
Fig.2 Hysteresis loop behavior for typical ferroelectric ceramic showing important properties. $P_r$ , remanent polarization; $P_s$ , spontaneous polarization; $E_c$ , coercive field.....	7
Fig. 3 A series of P-E response of a ferroelectric showing : ( a ) linear dielectric; ( b ) linear resistor; ( c ) lossy capacitor ; ( d ) nonlinear ferroelectric and ( e ) increasing the electric field extends the P-E hysteresis loop, ultimately to breakdown.....	8
Fig. 4 The perovskite structure of $\text{BaTiO}_3$ , (after Moulson and Herbert <sup>(5)</sup> ).....	12
Fig. 5 Change in lattice constants of $\text{PbTiO}_3$ versus temperature ( after Jaffe et al. <sup>(7)</sup> ).....	12
Fig. 6 Temperature dependence of the lattice volume of $\text{PbTiO}_3$ (after Y. Uesu et al. <sup>(17)</sup> ).....	13
Fig. 7 $\text{PbO-TiO}_2$ phase diagram (after Jaffe et al. <sup>(7)</sup> ).....	13

Page	
Fig. 8 Phase diagram of the $\text{PbTiO}_3\text{-CaTiO}_3$ solid solution (after Ikeda <sup>(48)</sup> ).....	18
Fig. 9 Lattice spacing of $\text{PbTiO}_3\text{-CaTiO}_3$ system at room temperature (after Sawaguchi et al. <sup>(34)</sup> ).....	19
Fig.10 Dielectric constant vs. temperature curve for $\text{Pb}_{0.5}\text{Ca}_{0.5}\text{TiO}_3$ . ( a ) Specimen measured immediately after cooling and, ( b ) measured after aging 7 days at room temperature. (after Sawaguchi et al. <sup>(38)</sup> ).....	19
Fig. 11 The scheme of calcination profile.....	32
Fig. 12 The scheme of sintering profile.....	32
Fig. 13 The scheme for the preparation of $\text{Pb}_{1-x}\text{La}_x\text{Ti}_{1-x/4}\text{O}_3$ ceramic.....	33
Fig.14 Sample holder for the capacitance and dissipation factor measurement .....	41
Fig. 15 The scheme of apparatus used for the capacitance and dissipation factor measurement.....	41
Fig. 16 The Sawyer Tower circuit .....	43
Fig. 17 The Virtual Ground Mode circuit.....	43

	Page
Fig. 18 X-ray diffraction patterns of PL5T (5 gms) powder before and after calcined at 300°C to 800°C for 1 hr.....	45
Fig. 19 X-ray diffraction patterns of PL5T ( 50 gms) calcined at ( a ) 750°C for 2 hrs , ( b ) 800°C for 2 hrs and ( c ) 800°C for 1 hr.....	46
Fig. 20 X-ray diffraction patterns of PC5T ( 50 gms) calcined at ( a ) 750°C, ( b ) 800°C and ( c ) 850°C for 2 hrs.....	47
Fig. 21 SEM micrographs of the PLT compositions sintered at 1200°C for 2 hrs : (a) PL5T ; (b) PL10T ; (c) PL15T and (d) PL20T at ( $\times$ 10,000).....	55
Fig. 22 SEM micrographs of PLT compositions sintered at 1200°C for 2 hrs : (a) PL5T ( $\times$ 20,000) ; (b) PL10T ( $\times$ 3,500) ; (c) PL15T ( $\times$ 3,500) and ( d ) PL20T ( $\times$ 3,500).....	57
Fig.23 SEM micrographs of PCT compositions sintered at 1200°C for 2 hrs: (a) PC15T ( $\times$ 150); ( b ) PC20T ( $\times$ 150) and (c ) PC30T ( $\times$ 1,000).....	59

Page
Fig. 24 SEM micrographs of PCT compositions sintered at 1200°C for 2 hrs of (a) PC15T ( $\times 500$ ) , (b) PC20T ( $\times 500$ ) and (c ) PC30T ( $\times 3,500$ ).....61
Fig. 25 X-ray diffraction patterns of $Pb_{1-x}La_xTi_{1-x/4}O_3$ ( $x = 0.05 , 0.10 , 0.15 , 0.20$ ) powder calcined at 750°C for 2 hrs.....65
Fig. 26 X-ray diffraction patterns of ; ( a ) PL20T, (b) PbO and (c) $TiO_2$ ,.....66
Fig. 27 DTA traces of PL20T powder; ( a ) before calcination ( b ) after calcination at 750°C for 2 hrs using a heating rate of 2°C/min.....67
Fig. 28 X-ray diffraction pattern of PL20T powder calcined at 750°C for 2 hrs and PL20T pellet sintered at 1200°C for 2 hrs.....68
Fig.29 Lattice parameters and c/a ratios for sintered specimens of PLT compositions .....70
Fig.30 Lattice parameters and c/a ratios for calcined powder of PLT compositions.....70
Fig 31 X-ray diffraction patterns of $Pb_{1-x}Ca_xTiO_3$ ( $x = 0.05 , 0.10 ,$ $0.15 , 0.20$ and $0.30$ ) powder calcined at 800°C for 2 hrs.....71

	Page
Fig 32 X-ray diffraction patterns of PC30T and CaTiO <sub>3</sub> .....	72
Fig 33 X-ray diffraction patterns of PC30T powder calcined at 800°C for 2 hrs and PC30T pellet sintered at 1200°C for 2 hrs.....	73
Fig.34 Lattice parameters and c/a ratios for calcined powder of PCT compositions.....	74
Fig.35 The dielectric constant (K') and dielectric loss (D) as a function of La <sup>3+</sup> content of Pb <sub>1-x</sub> La <sub>x</sub> Ti <sub>1-x/4</sub> O <sub>3</sub> measured at 1 kHz.....	77
Fig 36 Dielectric constant (K') and dielectric loss (D) vs frequencies of PL5T composition sintered at 1200°C for 2 hrs.....	77
Fig. 37 Dielectric constant (K') and dielectric loss (D) vs frequencies of PL10T composition sintered at 1200°C for 2 hrs .....	78
Fig. 38 Dielectric constant (K') and dielectric loss (D) vs frequencies of PL15T composition sintered at 1200°C for 2 hrs.....	78
Fig 39 Dielectric constant (K') and dielectric loss (D) of PL20T composition sintered at 1200°C for 2 hrs. as a function of frequency (1, 10, 100 kHz).....	79

	Page
Fig.40 The dielectric constant ( $K'$ ) and dielectric loss (D) of $\text{Ca}^{2+}$ content of $\text{Pb}_{1-x}\text{Ca}_x\text{TiO}_3$ measured at 1 kHz.....	80
Fig 41 Dielectric constant ( $K'$ ) and dielectric loss (D) vs frequencies of PC15T composition sintered at $1200^\circ\text{C}$ for 2 hrs.....	80
Fig 42 Dielectric constant ( $K'$ ) and dielectric loss (D) vs frequencies of PC20T composition sintered at $1200^\circ\text{C}$ for 2 hrs.....	81
Fig. 43 Dielectric constant ( $K'$ ) and dielectric loss (D) vs frequencies of PC30T composition sintered at $1200^\circ\text{C}$ for 2 hrs.....	81
Fig.44 Temperature dependence of the dielectric constant vs frequencies of PL15T composition sintered at $1200^\circ\text{C}$ for 2 hrs.....	85
Fig. 45 Temperature dependence of the dielectric loss (D) vs frequencies of PL15T composition sintered at $1200^\circ\text{C}$ for 2 hrs.....	85
Fig.46 Temperature dependence of the dielectric constant ( $K'$ ) vs frequencies of PC15T sintered at $1200^\circ\text{C}$ for 2 hrs.....	86
Fig.47 Temperature dependence of the dielectric loss (D) vs frequencies of PC15T sintered at $1200^\circ\text{C}$ for 2 hrs.....	86

Fig.48 P-E hysteresis loop of PL5T composition sintered at 1200°C for 2 hrs measured at 35 kV / cm at room temperature.....	90
Fig. 49 P-E hysteresis loop of PL10T composition sintered at 1200°C for 2 hrs measured at 35 kV / cm at room temperature.....	90
Fig. 50 P-E hysteresis loop of PL15T composition sintered at 1200°C for 2 hrs measured at 35 kV / cm at room temperature.....	91
Fig. 51 P-E hysteresis loop of PL20T composition sintered at 1200°C for 2 hrs measured at 35 kV/cm at room temperature.....	91
Fig. 52 Variation in remanent polarization ( $P_r$ ), as a function of $\text{La}^{3+}$ content for $\text{Pb}_{1-x}\text{La}_x\text{Ti}_{1-x/4}\text{O}_3$ specimens (measured at an applied field of 35 kV/cm at room temperature).....	92
Fig. 53 Variation in coercive field ( $E_c$ ), as a function of $\text{Ca}^{2+}$ content for $\text{Pb}_{1-x}\text{Ca}_x\text{TiO}_3$ specimens (measured at an applied field of 35 kV/cm at room temperature).....	92
Fig. 54 P-E hysteresis loop of PC15T sintered at 1200°C for 2 hrs measured at 35 kV/cm at room temperature.....	93

	Page
Fig. 55 P-E hysteresis loop of PC20T sintered at 1200°C for 2 hrs measured at 35 kV / cm at room temperature.....	93
Fig. 56 P-E hysteresis loop of PC30T sintered at 1200°C for 2 hrs measured at 35 kV / cm at room temperature.....	94
Fig. 57 Variation in remanent polarization ( $P_r$ ), as a function of $\text{Ca}^{2+}$ content for $\text{Pb}_{1-x}\text{Ca}_x\text{TiO}_3$ specimens (measured at an applied field of 35 kV/cm at room temperature).....	95
Fig. 58 Variation in coercive field ( $E_c$ ), as a function of $\text{Ca}^{2+}$ content for $\text{Pb}_{1-x}\text{Ca}_x\text{TiO}_3$ specimens (measured at an applied field of 35 kV/cm at room temperature).....	95